



Isotopie des sous-variétés legendriennes

Cyril Falcon

Lundi 28 octobre 2019, Rencontres doctorales Lebesgue (Nantes)

LMO (Université Paris-Sud)

Objectifs.

- Comprendre les déformations (**isotopie**) des sous-variétés legendriennes des variétés de contact,
- Exhiber des phénomènes de **rigidité topologique** de ces déformations.

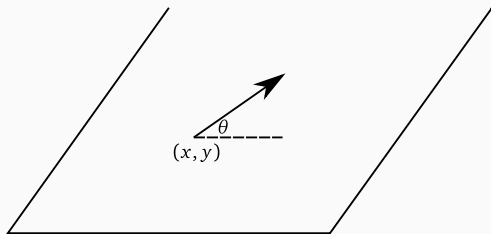
Question. Soient (V, ξ) une variété de contact et Λ_0, Λ_1 deux sous-variétés legendriennes de (V, ξ) , existe-t'il un chemin lisse $t \in [0, 1] \mapsto \Lambda_t$ de sous-variétés legendriennes de (V, ξ) ?

Un exemple introductif : le créneau en voiture I

Objectifs.

- Décrire le mouvement d'une voiture qui **roule sans glisser** sur un parking dont le revêtement est parfaitement **plan**.
- Savoir quand il est possible de se garer en créneau.

Hypothèse. Le mouvement se fait à vitesse unitaire.



Modélisation mathématique.

(1) Déterminer l'ensemble des états possibles.

Espace des configurations : $STR^2 = \mathbf{R}^2_{(x,y)} \times S^1_{\theta}$.

Couple position/vitesse normalisée.

(2) Déterminer les degrés de liberté.

Champs de vecteurs sur STR^2 :

○ Tourner les roues : $X_1 = \partial_{\theta}$,

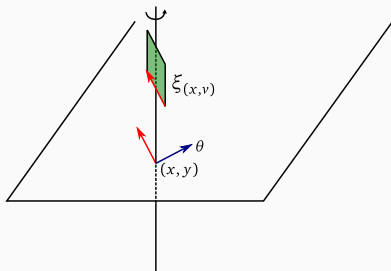
○ Avancer rectilignement : $X_2 = \cos(\theta)\partial_x + \sin(\theta)\partial_y$.

Un exemple introductif : le créneau en voiture III

Bilan. Les contraintes du mouvement sont encodées dans un champ de plans tangents à STR^2 :

$$\xi = \text{Vect}(X_1, X_2) = \ker(\sin(\theta) dx - \cos(\theta) dy),$$

et la vitesse est un élément de ξ .



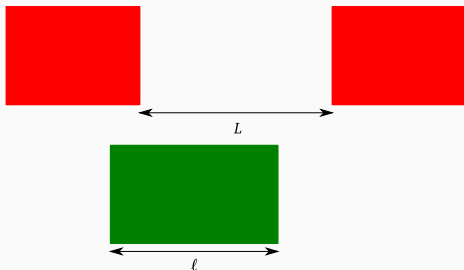
La variété (STR^2, ξ) est de **contact** et la trajectoire de la voiture en est une courbe **legendrienne**.

Un exemple introductif : le créneau en voiture IV

Qu'en est-il du créneau ?

Théorème

Dans la situation suivante :



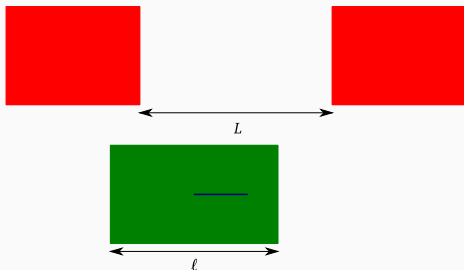
La voiture verte peut se garer si, et seulement si, $L > l$.

Un exemple introductif : le créneau en voiture IV

Qu'en est-il du créneau ?

Théorème

Dans la situation suivante :



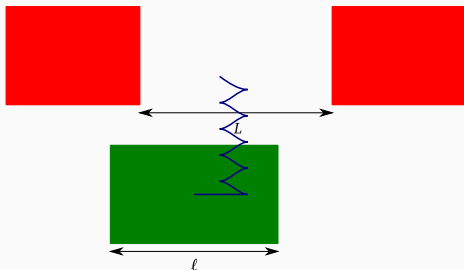
La voiture verte peut se garer si, et seulement si, $L > l$.

Un exemple introductif : le créneau en voiture IV

Qu'en est-il du créneau ?

Théorème

Dans la situation suivante :



La voiture verte peut se garer si, et seulement si, $L > l$.

Topologie de contact

Les structures de contact

Soit V une variété de dimension **impaire** $2n + 1$.

Définition

Une *structure de contact* ξ sur V est un champ d'hyperplans tangents à V tel que pour tout $x \in V$, il existe U un voisinage ouvert de x et $\psi: U \rightarrow \mathbf{R}^{2n+1}$ un difféomorphisme tels que :

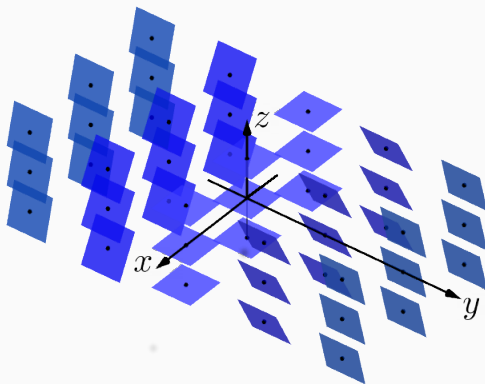
$$T\psi(\xi|_U) = \ker \left(dz - \sum_{k=1}^n y_k dx_k \right).$$

La paire (V, ξ) est une *variété de contact*.

Exemples de structures de contact I

Exemple.

$V = \mathbb{R}^3$ et $\xi_{\text{std}} = \ker(dz - y dx)$.



Exemples de structures de contact II

Exemple.

$V = STM$ pour (M, g) riemannienne et pour $(x, v) \in V$:

$$\xi_{\text{géod}(x,v)} = \ker \left(u \in T_{(x,v)}STM \mapsto g_x(v, T_{(x,v)}\pi u) \right),$$

où $\pi: V \rightarrow M$ est la projection sur la base M .

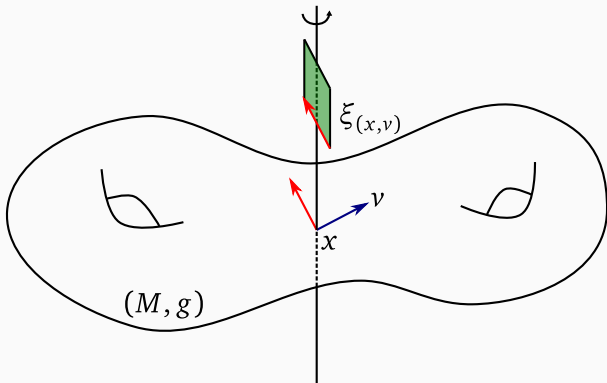
Pour $(M, g) = (\mathbf{R}^2, \|\cdot\|_2)$, c'est l'exemple introductif.

Remarque.

Si $(x, y, \theta) \in U = \mathbf{R}^2 \times \left] -\frac{\pi}{2}, \frac{\pi}{2} \right[$, alors le difféomorphisme $\psi: U \rightarrow \mathbf{R}^3$ défini par $\psi(x, y, \theta) = (x, \tan(\theta), y)$ convient.

Exemples de structures de contact III

Pour $(x, v) \in V$, $\xi_{\text{géod}(x,v)}$ se projette sur v^\perp via $T_{(x,v)}\pi$.



Les sous-variétés isotropes

Soient (V^{2n+1}, ξ) une variété de contact et L une sous-variété.

Proposition

Si L est partout tangente à la distribution de contact ξ , c'est-à-dire $TL \subset \xi$, alors $\dim(L) \leq n$.

Les structures de contact de V **minimisent**, parmi tous les champs d'hyperplans tangents à V , la dimension des sous-variétés qui leur sont partout tangentes.

Les sous-variétés legendriennes

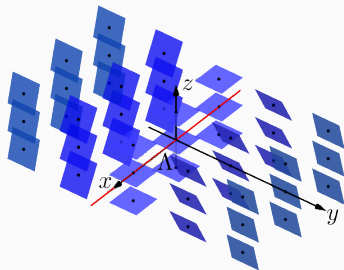
Définition

Une sous-variété Λ de (V, ξ) est *legendrienne* si Λ est partout tangente à ξ et $\dim(\Lambda) = n$.

Les sous-variétés legendriennes de (V, ξ) **maximisent** la dimension des sous-variétés de V partout tangentes à ξ .

Exemple.

$V = \mathbb{R}^3$, $\xi = \ker(dz - ydx)$ et $\Lambda = \{y = z = 0\}$.



L'approximation legendrienne

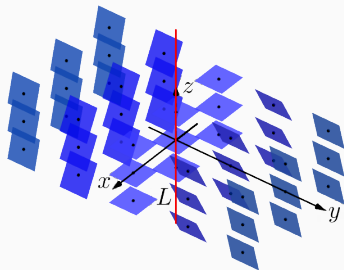
Les sous-variétés legendriennes sont **abondantes**.

Théorème (approximation legendrienne)

Soit L une sous-variété de dimension n de V , alors L est approximable en **topologie C^0** par des sous-variétés legendriennes de (V, ξ) .

Exemple.

$V = \mathbb{R}^3$, $\xi = \ker(dz - ydx)$, $L = \{z = 0\}$.



L'approximation legendrienne

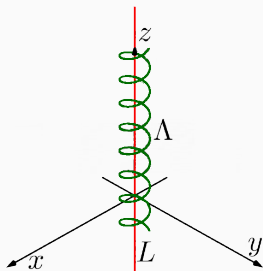
Les sous-variétés legendriennes sont **abondantes**.

Théorème (approximation legendrienne)

Soit L une sous-variété de dimension n de V , alors L est approximable en **topologie C^0** par des sous-variétés legendriennes de (V, ξ) .

Exemple.

$V = \mathbb{R}^3$, $\xi = \ker(dz - ydx)$, $L = \{z = 0\}$.



Représenter les sous-variétés legendriennes de $(\mathbb{R}^{2n+1}, \xi_{\text{std}})$

Soit Λ une sous-variété legendrienne de (\mathbb{R}^{2n+1}, ξ) .

Problème. Comment représenter Λ de dimension n en dimension ambiante $2n + 1$?

Solution. $\pi : \mathbb{R}^n_x \times \mathbb{R}^n_y \times \mathbb{R}_z \rightarrow \mathbb{R}^n_x \times \mathbb{R}_z$, projection frontale.

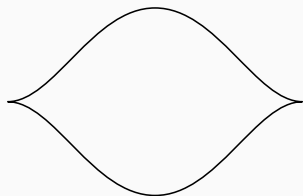
Proposition

Génériquement, la projection frontale de Λ

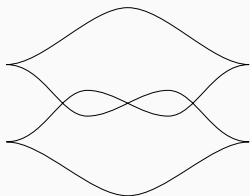
- est une sous-variété immergée en dehors d'une sous-variété *stratifiée* de codimension 1 dont les points multiples sont *transverses*,
- détermine Λ via $y_i = \frac{\partial z}{\partial x_i}$.

Exemples de projections frontales

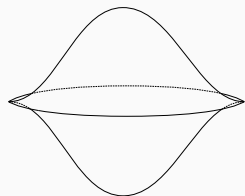
En projetant des **singularités** apparaissent :



Trivial ($\mathbb{R}^3, \xi_{\text{std}}$)



Trèfle ($\mathbb{R}^3, \xi_{\text{std}}$)



Trivial ($\mathbb{R}^5, \xi_{\text{std}}$)

Structures de contact et physique

Les structures de contact permettent de modéliser de nombreux phénomènes physiques :

- Thermodynamique à l'équilibre (via le premier principe) \rightsquigarrow sous-variétés legendriennes de $(\mathbf{R}^5, \xi_{\text{std}})$,
- Optique géométrique (via le principe de Huygens) \rightsquigarrow flot du champ de Reeb de $(STM, \xi_{\text{géod}})$,
- Mécanique sous contrainte \rightsquigarrow variétés hamiltoniennes
- ...

Rigidité legendrienne

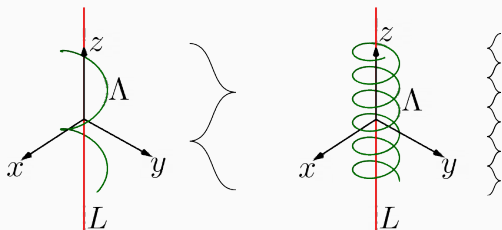
Abondance des sous-variétés legendriennes I

Par le théorème d'approximation legendrienne, toute sous-variété lisse de V est isotope à une sous-variété legendrienne de $(V, \xi) \rightsquigarrow$ elles sont **abondantes**!

Par contre, ces approximations sont multiples :

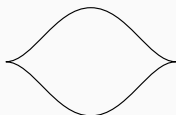
Théorème

Soit Λ une sous-variété legendrienne de (V, ξ) , la classe d'isotopie lisse de Λ **se scinde** en une infinité de classes d'isotopie legendrienne distinctes.

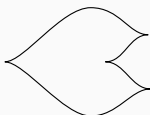


Abondance des sous-variétés legendriennes II

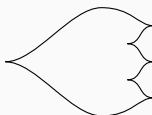
Invariants classiques : (r, tb) (topologie algébrique) permettent d'établir le théorème quand $\dim V = 3$:



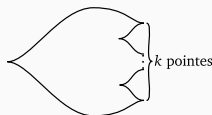
$$(r, \text{tb}) = (0, -1)$$



$$(r, \text{tb}) = (-1, -2)$$



$$(r, \text{tb}) = (-2, -3)$$



$$(r, \text{tb}) = (-k, -k-1)$$

Les sous-variétés legendriennes sont **petites** ($\text{codim} = n + 1$), mais elles sont **encombrantes** (difficiles à isotoper).

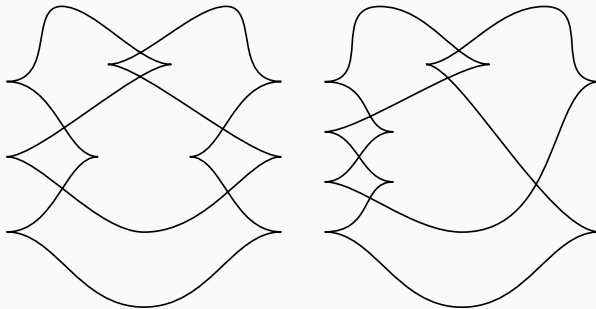
\rightsquigarrow comportement surprenant et riche !

Rigidité : absence d'obstructions topologiques ne garantit pas l'existence d'une isotopie legendrienne.

Limites des invariants classiques I

Théorème (Tchekanov, 2002)

Les nœuds legendriens de $(\mathbb{R}^3, \xi_{\text{std}})$ qui sont des miroirs de 5_2 (donc isotopes comme nœuds topologiques) suivants :



*ont même (r, tb) , mais ne sont pas **legendriennement isotopes**.*

Limites des invariants classiques II

La situation est encore pire en grande dimension :

Théorème (Ekholm-Etnyre-Sullivan, 2005)

*Pour tout $n > 1$, il existe une **infinité** de sphères legendriennes de $(\mathbb{R}^{2n+1}, \xi_{\text{std}})$ qui ont mêmes invariants classiques, mais ne sont pas isotopes comme sous-variétés legendriennes.*

Les invariants classiques ne sont pas efficaces.

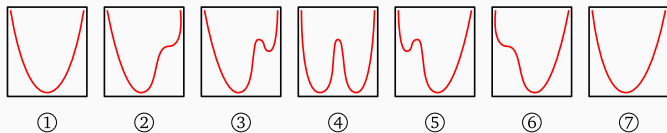
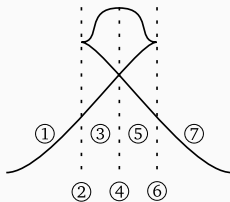
Objectif. Construire des invariants legendriens qui encodent plus de topologie de contact que les invariants classiques.

Invariants legendriens

Familles génératrices

Soient Λ une sous-variété legendrienne de $(\mathbb{R}^{2n+1}, \xi_{\text{std}})$ et $(f_x: \mathbb{R}^N \rightarrow \mathbb{R})_{x \in \mathbb{R}^N}$ une famille génératrice de Λ .

Graphe des valeurs critiques de $x \mapsto f_x = \text{front de } \Lambda$.



Attention! Une famille génératrice n'existe pas toujours!

Homologie pour les familles génératrices

La **fonction différence** $\delta_f: \mathbf{R}^n \times \mathbf{R}^N \times \mathbf{R}^N \rightarrow \mathbf{R}$ de f est :

$$\delta_f(x, \eta^1, \eta^2) = f(x, \eta^1) - f(x, \eta^2),$$

ses points critiques de valeurs critiques strictement positive sont en bijection avec les **cordes de Reeb** de Λ .

« Compter » trajectoires rigides de $-\nabla\delta_f$ (théorie de Morse)
 $\rightsquigarrow \Gamma_f(t) \in \mathbb{N} [t, t^{-1}]$ (Traynor, 2001).

Γ_f est une **catégorification** de $\text{tb} : \Gamma_f(-1) = (-1)^{n(n+1)/2} \text{tb}$.

La collection $\{\Gamma_f(t); f\}$ est un invariant de Λ (Tchekanov, 1996).

Les trajectoires de $-\nabla\delta_f$ sont difficilement identifiables, mais :

Théorème (Bourgeois-Sabloff-Traynor, 2015)

Il existe deux polynômes $p, q \in \mathbb{N}[t]$ tels que :

$$\Gamma_f(t) = q(t) + p(t) + t^{n-1}p(t^{-1}), \quad (\star)$$

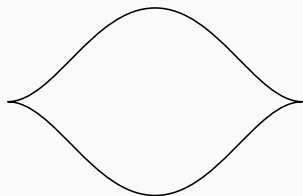
*avec q de degré n déterminé par la topologie (**homologie**) de Λ .
Réciproquement, si P satisfait (\star) , il existe f telle que $P = \Gamma_f$.*

Ce résultat facilite le calcul de Γ_f , car

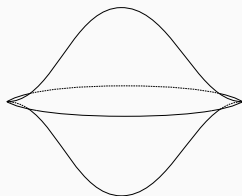
- **Graduation** des points critiques de δ_f est calculable \rightsquigarrow
degré des monômes dans Γ_f est partiellement connu,
- et le théorème restreint les polynômes admissibles.

Exemples de $\Gamma_f(t)$ I

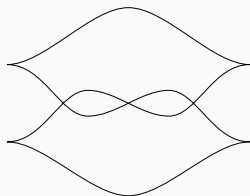
Il existe des familles génératrices telles que



$$\Gamma_f(t) = t$$



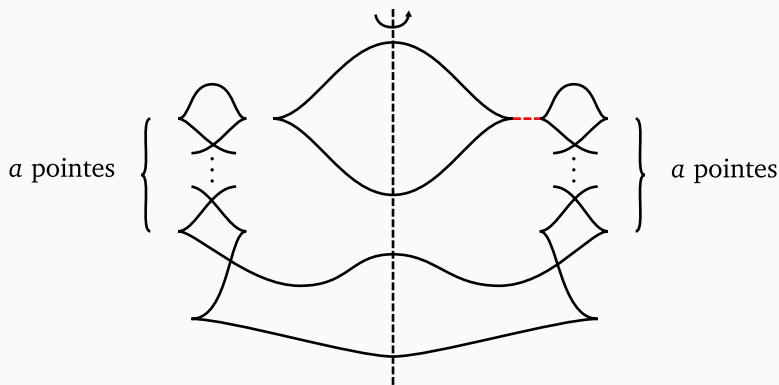
$$\Gamma_f(t) = t^n$$



$$\Gamma_f(t) = t + 2$$

Exemples de $\Gamma_f(t)$ II

Il existe une famille génératrice telle que



$$\Gamma_f(t) = t^n + t^a + t^{n-a-1}$$

Une version bilinéarisée de $\Gamma_f(t)$

Objectif. Raffiner $\Gamma_f(t)$ comme invariant legendrien.

La **fonction différence** $\delta_{f_1, f_2} : \mathbf{R}^n \times \mathbf{R}^n \times \mathbf{R}^n \rightarrow \mathbf{R}$ de f_1 et f_2 est :

$$\delta_{f_1, f_2} (x, \eta^1, \eta^2) = f_1 (x, \eta^1) - f_2 (x, \eta^2),$$

ses points critiques de valeurs critiques strictement positive sont encore en bijection avec les **cordes de Reeb** de Λ .

Même construction que précédemment $\rightsquigarrow \Gamma_{f_1, f_2}(t) \in \mathbb{N} [t, t^{-1}]$.

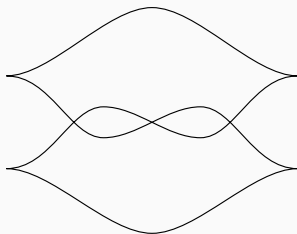
L'ensemble $\{\Gamma_{f_1, f_2}(t); (f_1, f_2)\}$ est encore un invariant de Λ .

Il n'y a plus de contraintes structurales sur $\Gamma_{f_1, f_2}(t)$.

\rightsquigarrow Le calcul de $\Gamma_{f_1, f_2}(t)$ est **compliqué!**

Exemple de $\Gamma_{f_1, f_2}(t)$

Il existe des familles génératrices telles que



$$\Gamma_{f_1, f_2}(t) = 1$$

Ce polynôme ne vérifie plus la condition (\star) du théorème.

Objectifs.

- Développer une **méthode de calcul** pour $\Gamma_{f_1, f_2}(t)$,
- Faire la **géographie** de $\Gamma_{f_1, f_2}(t)$,
- **Relier** $\Gamma_f(t)$ à d'autres invariants legendriens.

Construire une augmentation ε_f de Λ qui satisfait :

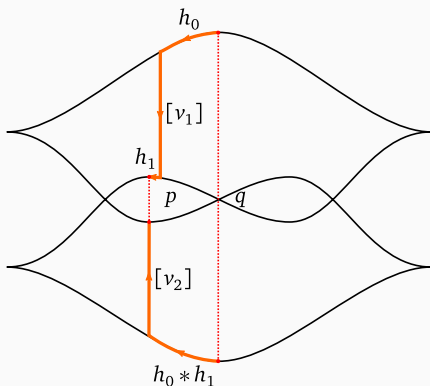
$$\Gamma_f(t) = \tilde{\Gamma}_{\varepsilon_f}(t).$$

Résolu en dimension 3 (Fuchs-Rutherford, 2011).

Mon sujet de thèse II

Idée (Henry-Rutherford, 2013). Les trajectoires de $-\nabla\delta_{f_1, f_2}$ sont en correspondance bijective avec des **escaliers** dont les

- fragments horizontaux sont des courbes du front,
- fragments verticaux joignent deux branches du front,



Comment établir cette correspondance bijective ?

Stratégie. Écraser les trajectoires de $-\nabla\delta_{f_1,f_2}$ sur le front de Λ en considérant une dégénérescence explicite $(g_s)_{s \in]0,1]}$ de la métrique riemannienne sur $\mathbf{R}^n \times \mathbf{R}^N \times \mathbf{R}^N$.

- Étape 1. Théorème de **compacité** (trajectoire \mapsto escalier),
- Étape 2. Théorème de **recollement** (escalier \mapsto trajectoire).

Théorème (F., en cours de rédaction)

Si les singularités du front de Λ ne consistent qu'en des bords cuspidaux, la dégénérescence des trajectoires de $-\nabla^{g_s}\delta_{f_1,f_2}$ se fait génériquement vers des chaînes d'escaliers quand $s \rightarrow 0$.

Je vous remercie de votre attention!